

关于三重子系统的 $SU(3)$ 对称性*

谢淑琴 张启仁
(北京大学)

摘 要

本文提出了 ${}^3\text{He}$ 和 ${}^3\text{H}$ 等三重子填充 $SU(3)$ 群 $\overline{35}$ 维不可约表示的可能性。计算了三重子三十五重态的波函数及分支比,给出了多重态内部各三重子态的质量之间的关系,并预言了可能存在的三重子系统。

一、引 言

早已知道,强子具有 $SU(3)$ 么正对称性^[1],核子属于它的8维不可约表示。八重态理论提出不久, Oakes^[2]就提出了包括氦在内的双重子十重态理论。我们曾经以重子 p, n, Λ, Σ 和 Ξ 构成 $SU(3)$ 群8维不可约表示,提出了存在双重子二十七重态的可能性^[3,4],理论与实验符合的相当好。这表明少数重子系统对 $SU(3)$ 群的高维表示仍有很好的么正对称性。因此研究 ${}^3\text{He}$ 和 ${}^3\text{H}$ 等三重子的么正对称性是十分重要的。在文章[5]中是以 p, n 和 Λ 作为 $SU(3)$ 群的基础粒子来研究三重子系统。本文仍以 p, n, Λ, Σ 和 Ξ 构成 $SU(3)$ 群的8维不可约表示。根据 ${}^3\text{He}$ 和 ${}^3\text{H}$ 的超荷与同位旋找到 ${}^3\text{He}$ 和 ${}^3\text{H}$ 应该填充 $SU(3)$ 群 $\overline{35}$ 维不可约表示。

二、 ${}^3\text{He}$ 和 ${}^3\text{H}$ 所在的 $SU(3)$ 多重态

以 p, n, Λ, Σ 和 Ξ 八个重子构成 $SU(3)$ 群8维不可约表示。为了得到三重子态,需要三个8维不可约表示直积的约化,也就是

$$8 \otimes 8 \otimes 8 = 8 \oplus (1 \oplus 8 \oplus 8 \oplus 10 \oplus \overline{10} \oplus 27) \quad (1)$$

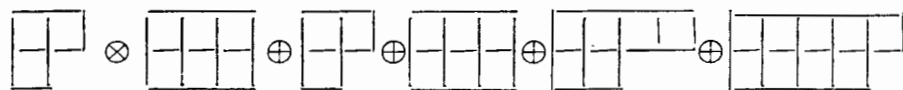
其中

$$8 \otimes \overline{10} = 8 \oplus \overline{10} \oplus 27 \oplus \overline{35} \quad (2)$$

(2)式用杨图可表示为

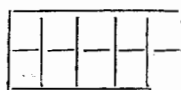
本文1987年2月10日收到。

* 本工作部分地是在国家自然科学基金资助下完成的。



根据 ${}^3\text{He}$ 和 ${}^3\text{H}$ 的超荷 $Y = 3$, 同位旋 $I = \frac{1}{2}$, 可知 ${}^3\text{He}$ 和 ${}^3\text{H}$ 属于 $8 \otimes \overline{10}$ 直积分解后的

$\overline{35}$ 维不可约表示, 其杨图为 $\begin{array}{|c|c|c|c|} \hline & & & \\ \hline & & & \\ \hline & & & \\ \hline & & & \\ \hline \end{array}$, 用 $SU(3)$ 群基础表示的权矢, 并根据杨图



可得到三十五重态的权图 (见图 1) 及三十五重态的量子数 (见表 1)。因

此 ${}^3\text{He}$ 和 ${}^3\text{H}$ 填入 $SU(3)$ 群的三十五重态。

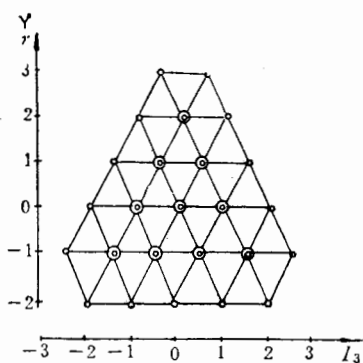


图 1 $\overline{35}$ 维表示的权图

表 1 三重子三十五重态的量子数 (Y, I, I_3)

$(3, \frac{1}{2}, \frac{1}{2})$	$(3, \frac{1}{2}, -\frac{1}{2})$	$(2, 1, 1)$	$(2, 1, 0)$	$(2, 1, -1)$	$(2, 0, 0)$	$(1, \frac{3}{2}, \frac{3}{2})$
$(1, \frac{3}{2}, \frac{1}{2})$	$(1, \frac{3}{2}, -\frac{1}{2})$	$(1, \frac{3}{2}, -\frac{3}{2})$	$(1, \frac{1}{2}, \frac{1}{2})$	$(1, \frac{1}{2}, -\frac{1}{2})$	$(0, 2, 2)$	$(0, 2, 1)$
$(0, 2, 0)$	$(0, 2, -1)$	$(0, 2, -2)$	$(0, 1, 1)$	$(0, 1, 0)$	$(0, 1, -1)$	$(-1, \frac{5}{2}, \frac{5}{2})$
$(-1, \frac{5}{2}, \frac{3}{2})$	$(-1, \frac{5}{2}, \frac{1}{2})$	$(-1, \frac{5}{2}, -\frac{1}{2})$	$(-1, \frac{5}{2}, -\frac{3}{2})$	$(-1, \frac{5}{2}, -\frac{5}{2})$	$(-1, \frac{3}{2}, \frac{3}{2})$	$(-1, \frac{3}{2}, \frac{1}{2})$
$(-1, \frac{3}{2}, -\frac{1}{2})$	$(-1, \frac{3}{2}, -\frac{3}{2})$	$(-2, 2, 2)$	$(-2, 2, 1)$	$(-2, 2, 0)$	$(-2, 2, -1)$	$(-2, 2, -2)$

三、三十五重态的波函数

根据 $SU(3)$ 李代数的标准形式求出三十五重态的波函数。 $SU(3)$ 李代数的标准形式为

$$[H_1, H_2] = 0,$$

$$[\vec{H}, E_\alpha] = \vec{\rho}(\alpha) E_\alpha, \quad \alpha = 1, 2, 3,$$

$$[E_\alpha, E_{-\alpha}] = \vec{\rho}(\alpha) \cdot \vec{H}$$

$$[E_\alpha, E_\beta] = \begin{cases} N_{\alpha\beta}E_{\alpha+\beta} & \text{当 } \vec{\rho}(\alpha) + \vec{\rho}(\beta) \text{ 为非零根,} \\ 0 & \text{其它情况,} \end{cases}$$

$$\vec{\rho}(1) = -\vec{\rho}(-1) = \left(\sqrt{\frac{2}{3}}, 0\right),$$

$$\vec{\rho}(2) = -\vec{\rho}(-2) = \left(\frac{1}{\sqrt{6}}, \frac{1}{\sqrt{2}}\right),$$

$$\vec{\rho}(3) = -\vec{\rho}(-3) = \left(-\frac{1}{\sqrt{6}}, \frac{1}{\sqrt{2}}\right),$$

这里的 H_1 和 H_2 是 $SU(3)$ 相互对易的生成元, E_α 和 $E_{-\alpha}(\alpha = 1, 2, 3)$ 是彼此不对易的生成元. $\vec{\rho}(\alpha)(\alpha = 1, 2, 3)$ 是根矢. $N_{\alpha\beta}$ 是结构常数.

对于一个不可约表示, 如果某一基函数 ϕ_m 的权矢为 \vec{m} , 由李代数的标准形式可以得到基函数 $E_\alpha\phi_m$ 的权矢为 $\vec{m}' = \vec{m} + \vec{\rho}(\alpha)^{[6]}$. 若权矢 $\vec{m} + \vec{\rho}(\alpha)$ 比权矢 \vec{m} 低, E_α 就是下降算符. 这样, 可以由一个不可约表示具有最高权的基函数出发, 得到这个不可约表示的全部基函数.

以八个重子 p, n, Λ, Σ 和 Ξ 作为 $SU(3)$ 群 8 维不可约表示的基函数. 由重子八重态的权图得到 8 维不可约表示的基函数为

$$\begin{aligned} \varphi_{1, \frac{1}{2}, \frac{1}{2}} = p, \quad \varphi_{1, \frac{1}{2}, -\frac{1}{2}} = n, \quad \varphi_{0, 0, 0} = \Lambda, \quad \varphi_{0, 1, 1} = \Sigma^+, \\ \varphi_{0, 1, 0} = \Sigma^0, \quad \varphi_{0, 1, -1} = \Sigma^-, \quad \varphi_{-1, \frac{1}{2}, \frac{1}{2}} = \Xi^0, \quad \varphi_{-1, \frac{1}{2}, -\frac{1}{2}} = \Xi^-. \end{aligned}$$

要得到 $\overline{35}$ 维不可约表示, 由(2)式可知还要求出 $\overline{10}$ 维不可约表示. 两个 8 维不可约表示直积约化是

$$8 \otimes 8 = 1 \oplus 8 \oplus 8 \oplus \overline{10} \oplus 27,$$

要求 $\overline{10}$ 维不可约表示, 就要先求出在上式分解中维数最高的不可约表示, 即 27 维不可约表示. 而 27 维不可约表示求法如下:

27 维不可约表示中具有最高权的基函数应由两个 8 维不可约表示具有最高权的基函数构成, 也就是 $\chi_{211} = \varphi_{1, \frac{1}{2}, \frac{1}{2}}\varphi_{1, \frac{1}{2}, \frac{1}{2}} = pp$. 有了这个最高权的基函数, 应用下降算符 e_{21} 和 $e_{32}^{[6]}$, 再根据 27 维不可约表示的权图^[4], 求出了 27 维不可约表示. 下面给出从最高权开始的五个基函数为

$$\chi_{2, 1, 1} = pp, \quad \chi_{2, 1, 0} = \frac{1}{\sqrt{2}}(pn + np), \quad \chi_{2, 1, -1} = nn,$$

$$\chi_{1, \frac{3}{2}, \frac{3}{2}} = \frac{1}{\sqrt{2}}(p\Sigma^+ + \Sigma^+p),$$

$$\chi_{1, \frac{3}{2}, \frac{1}{2}} = \frac{1}{\sqrt{6}}(n\Sigma^+ + \Sigma^+n) + \frac{1}{\sqrt{3}}(p\Sigma^0 + \Sigma^0p).$$

为了求 $\overline{10}$ 维不可约表示, 下面先给出 $\overline{10}$ 维不可约表示的权矢为

杨图	<table border="1" style="display: inline-table; vertical-align: middle;"><tr><td>1</td><td>1</td><td>1</td></tr><tr><td>2</td><td>2</td><td>2</td></tr></table>	1	1	1	2	2	2	<table border="1" style="display: inline-table; vertical-align: middle;"><tr><td>1</td><td>1</td><td>1</td></tr><tr><td>2</td><td>2</td><td>3</td></tr></table>	1	1	1	2	2	3	<table border="1" style="display: inline-table; vertical-align: middle;"><tr><td>1</td><td>1</td><td>2</td></tr><tr><td>2</td><td>2</td><td>3</td></tr></table>	1	1	2	2	2	3	<table border="1" style="display: inline-table; vertical-align: middle;"><tr><td>1</td><td>1</td><td>1</td></tr><tr><td>2</td><td>3</td><td>3</td></tr></table>	1	1	1	2	3	3	<table border="1" style="display: inline-table; vertical-align: middle;"><tr><td>1</td><td>1</td><td>2</td></tr><tr><td>2</td><td>3</td><td>3</td></tr></table>	1	1	2	2	3	3
1	1	1																																	
2	2	2																																	
1	1	1																																	
2	2	3																																	
1	1	2																																	
2	2	3																																	
1	1	1																																	
2	3	3																																	
1	1	2																																	
2	3	3																																	
权矢 (y, t_3)	(2, 0)	$(1, \frac{1}{2})$	$(1, -\frac{1}{2})$	(0, 1)	(0, 0)																														

杨图

1	2	2
2	3	3

1	1	1
3	3	3

1	1	2
3	3	3

1	2	2
3	3	3

2	2	2
3	3	3

权矢 (Y, I_3) $(0, -1)$ $(-1, \frac{3}{2})$ $(-1, \frac{1}{2})$ $(-1, \frac{-1}{2})$ $(-1, \frac{-3}{2})$

由于 $\overline{10}$ 维不可约表示的最高权为 $(2, 0)$, 故要在 27 维不可约表示中找到与此权相同的基函数, 它是 $\chi_{210} = \frac{1}{\sqrt{2}}(pn + np)$, 其权为 $(2, 0)$. 假设 $\overline{10}$ 维具有最高权的基函数是

$\phi_{200} = apn + bnp$ (其中 a 和 b 是常数), 那么, χ_{210} 与 ϕ_{200} 正交, 即 $(\chi_{210}, \phi_{200}) = 0$, 由此得到 $a = -b$, 由归一化条件, $a^2 + b^2 = 1$, 得到 $a = \frac{1}{\sqrt{2}}$, $b = -\frac{1}{\sqrt{2}}$, 由此得出 $\overline{10}$

维具有最高数的基函数为 $\phi_{200} = \frac{1}{\sqrt{2}}(pn - np)$. 有了 ϕ_{200} , 应用求 27 维不可约表示相同的方法, 可得到 $\overline{10}$ 维不可约表示的基函数为

$$\phi_{200} = \sqrt{\frac{1}{2}}(pn - np),$$

$$\phi_{1\frac{1}{2}\frac{1}{2}} = \sqrt{\frac{1}{6}}(\Sigma^+n - n\Sigma^+) + \sqrt{\frac{1}{12}}(p\Sigma^0 - \Sigma^0p) + \sqrt{\frac{1}{4}}(\Lambda p - p\Lambda),$$

$$\phi_{1\frac{1}{2}-\frac{1}{2}} = \sqrt{\frac{1}{12}}(\Sigma^0n - n\Sigma^0) - \sqrt{\frac{1}{6}}(\Sigma^-p - p\Sigma^-) + \sqrt{\frac{1}{4}}(\Lambda n - n\Lambda),$$

$$\phi_{011} = \sqrt{\frac{1}{12}}(\Sigma^+\Sigma^0 - \Sigma^0\Sigma^+) + \sqrt{\frac{1}{4}}(\Lambda\Sigma^+ - \Sigma^+\Lambda) + \sqrt{\frac{1}{6}}(p\Sigma^0 - \Sigma^0p),$$

$$\begin{aligned} \phi_{010} = & \sqrt{\frac{1}{12}}(\Sigma^+\Sigma^- - \Sigma^-\Sigma^+) + \sqrt{\frac{1}{4}}(\Lambda\Sigma^0 - \Sigma^0\Lambda) \\ & + \sqrt{\frac{1}{12}}(n\Sigma^0 - \Sigma^0n) + \sqrt{\frac{1}{12}}(p\Sigma^- - \Sigma^-p), \end{aligned}$$

$$\begin{aligned} \phi_{01-1} = & \sqrt{\frac{1}{6}}(n\Sigma^- - \Sigma^-n) + \sqrt{\frac{1}{4}}(\Lambda\Sigma^- - \Sigma^-\Lambda) \\ & + \sqrt{\frac{1}{12}}(\Sigma^0\Sigma^- - \Sigma^-\Sigma^0), \end{aligned}$$

$$\phi_{-1\frac{3}{2}\frac{3}{2}} = \sqrt{\frac{1}{2}}(\Sigma^+\Sigma^0 - \Sigma^0\Sigma^+),$$

$$\phi_{-1\frac{3}{2}\frac{1}{2}} = \sqrt{\frac{1}{3}}(\Sigma^0\Sigma^0 - \Sigma^0\Sigma^0) + \sqrt{\frac{1}{6}}(\Sigma^+\Sigma^- - \Sigma^-\Sigma^+),$$

$$\phi_{-1\frac{3}{2}-\frac{1}{2}} = \sqrt{\frac{1}{6}}(\Sigma^-\Sigma^0 - \Sigma^0\Sigma^-) + \sqrt{\frac{1}{3}}(\Sigma^0\Sigma^- - \Sigma^-\Sigma^0),$$

$$\phi_{-1\frac{3}{2}-\frac{3}{2}} = \sqrt{\frac{1}{2}}(\Sigma^-\Sigma^- - \Sigma^-\Sigma^-).$$

8 维和 $\overline{10}$ 维不可约表示均已求出, 由(2)式 $8 \times \overline{10} = 8 \oplus 10 \oplus 27 \oplus \overline{35}$ 可求出 $\overline{35}$ 维不可约表示. 8 维不可约表示具有最高权的基函数是 $\varphi_{1, \frac{1}{2}, \frac{1}{2}}$ 其权为 $(1, \frac{1}{2})$, $\overline{10}$ 维不可约表示具有最高权的基函数是 ψ_{200} , 其权为 $(2, 0)$. 所以 $\overline{35}$ 维不可约表示具有最高权的基函数为 $\Phi_{3 \frac{1}{2}, \frac{1}{2}} = \varphi_{1, \frac{1}{2}, \frac{1}{2}} \psi_{200}$, 其权为 $(3, \frac{1}{2})$. 同样应用下降算符 e_{21} 和 e_{32} , 并根据三十五重态的权图(见图 1), 可求出 $\overline{35}$ 维不可约表示的全部基函数.

最后得到三重子三十五重态的波函数如下:

$$\begin{aligned} \Phi_{3 \frac{1}{2}, \frac{1}{2}} &= \varphi_{1, \frac{1}{2}, \frac{1}{2}} \psi_{200} = \sqrt{\frac{1}{2}} (ppn - pnp), \\ \Phi_{3 \frac{1}{2}, \frac{-1}{2}} &= \varphi_{1, \frac{1}{2}, \frac{-1}{2}} \psi_{200} = \sqrt{\frac{1}{2}} (npn - nnp), \\ \Phi_{211} &= \sqrt{\frac{1}{4}} \varphi_{011} \psi_{200} + \sqrt{\frac{3}{4}} \varphi_{1, \frac{1}{2}, \frac{1}{2}} \psi_{1, \frac{1}{2}, \frac{1}{2}}, \\ \Phi_{210} &= \sqrt{\frac{1}{4}} \varphi_{010} \psi_{200} + \sqrt{\frac{3}{8}} \varphi_{1, \frac{1}{2}, \frac{-1}{2}} \psi_{1, \frac{1}{2}, \frac{1}{2}} + \sqrt{\frac{3}{8}} \varphi_{1, \frac{1}{2}, \frac{1}{2}} \psi_{1, \frac{1}{2}, \frac{-1}{2}}, \\ \Phi_{21-1} &= \sqrt{\frac{1}{4}} \varphi_{01-1} \psi_{200} + \sqrt{\frac{3}{4}} \varphi_{1, \frac{1}{2}, \frac{-1}{2}} \psi_{1, \frac{1}{2}, \frac{-1}{2}}, \\ \Phi_{200} &= \sqrt{\frac{1}{2}} \varphi_{000} \psi_{200} - \sqrt{\frac{1}{4}} \varphi_{1, \frac{1}{2}, \frac{-1}{2}} \psi_{1, \frac{1}{2}, \frac{1}{2}} + \sqrt{\frac{1}{4}} \varphi_{1, \frac{1}{2}, \frac{1}{2}} \psi_{1, \frac{1}{2}, \frac{-1}{2}}, \\ \Phi_{1 \frac{3}{2}, \frac{3}{2}} &= \sqrt{\frac{1}{2}} \varphi_{011} \psi_{1, \frac{1}{2}, \frac{1}{2}} + \sqrt{\frac{1}{2}} \varphi_{1, \frac{1}{2}, \frac{1}{2}} \psi_{011}, \\ \Phi_{1 \frac{3}{2}, \frac{1}{2}} &= \sqrt{\frac{1}{3}} \varphi_{010} \psi_{1, \frac{1}{2}, \frac{1}{2}} + \sqrt{\frac{1}{6}} \varphi_{011} \psi_{1, \frac{1}{2}, \frac{-1}{2}} + \sqrt{\frac{1}{6}} \varphi_{1, \frac{1}{2}, \frac{-1}{2}} \psi_{011} \\ &\quad + \sqrt{\frac{1}{3}} \varphi_{1, \frac{1}{2}, \frac{1}{2}} \psi_{010}, \\ \Phi_{1 \frac{3}{2}, \frac{-1}{2}} &= \sqrt{\frac{1}{6}} \varphi_{01-1} \psi_{1, \frac{1}{2}, \frac{1}{2}} + \sqrt{\frac{1}{3}} \varphi_{010} \psi_{1, \frac{1}{2}, \frac{-1}{2}} + \sqrt{\frac{1}{3}} \varphi_{1, \frac{1}{2}, \frac{1}{2}} \psi_{010} \\ &\quad + \sqrt{\frac{1}{6}} \varphi_{1, \frac{1}{2}, \frac{1}{2}} \psi_{01-1}, \\ \Phi_{1 \frac{3}{2}, \frac{-3}{2}} &= \sqrt{\frac{1}{2}} \varphi_{01-1} \psi_{1, \frac{1}{2}, \frac{-1}{2}} + \sqrt{\frac{1}{2}} \varphi_{1, \frac{1}{2}, \frac{-1}{2}} \psi_{01-1}, \\ \Phi_{1 \frac{1}{2}, \frac{1}{2}} &= \sqrt{\frac{1}{8}} \varphi_{-1, \frac{1}{2}, \frac{1}{2}} \psi_{200} + \sqrt{\frac{1}{24}} \varphi_{011} \psi_{1, \frac{1}{2}, \frac{-1}{2}} - \sqrt{\frac{1}{48}} \varphi_{010} \psi_{1, \frac{1}{2}, \frac{1}{2}} \\ &\quad + \sqrt{\frac{9}{16}} \varphi_{000} \psi_{1, \frac{1}{2}, \frac{1}{2}} + \sqrt{\frac{1}{12}} \varphi_{1, \frac{1}{2}, \frac{1}{2}} \psi_{010} - \sqrt{\frac{1}{6}} \varphi_{1, \frac{1}{2}, \frac{-1}{2}} \psi_{011}, \\ \Phi_{1 \frac{1}{2}, \frac{-1}{2}} &= \sqrt{\frac{1}{8}} \varphi_{-1, \frac{1}{2}, \frac{-1}{2}} \psi_{200} - \sqrt{\frac{1}{24}} \varphi_{01-1} \psi_{1, \frac{1}{2}, \frac{1}{2}} + \sqrt{\frac{1}{48}} \varphi_{010} \psi_{1, \frac{1}{2}, \frac{-1}{2}} \end{aligned}$$

$$\begin{aligned}
& + \sqrt{\frac{9}{16}} \varphi_{000} \psi_{1\frac{1}{2}-\frac{1}{2}} - \sqrt{\frac{1}{12}} \varphi_{1\frac{1}{2}-\frac{1}{2}} \psi_{010} + \sqrt{\frac{1}{6}} \varphi_{1\frac{1}{2}\frac{1}{2}} \psi_{01-1}, \\
\Phi_{022} &= \sqrt{\frac{3}{4}} \varphi_{011} \psi_{011} + \sqrt{\frac{1}{4}} \varphi_{1\frac{1}{2}\frac{1}{2}} \psi_{-1\frac{1}{2}\frac{1}{2}}, \\
\Phi_{021} &= \sqrt{\frac{3}{8}} \varphi_{010} \psi_{011} + \sqrt{\frac{3}{8}} \varphi_{011} \psi_{010} + \sqrt{\frac{1}{16}} \varphi_{1\frac{1}{2}-\frac{1}{2}} \psi_{-1\frac{1}{2}\frac{1}{2}} \\
& + \sqrt{\frac{3}{16}} \varphi_{1\frac{1}{2}\frac{1}{2}} \psi_{-1\frac{1}{2}\frac{1}{2}}, \\
\Phi_{020} &= \sqrt{\frac{1}{8}} \varphi_{01-1} \psi_{011} + \sqrt{\frac{1}{2}} \varphi_{010} \psi_{010} + \sqrt{\frac{1}{8}} \varphi_{011} \psi_{01-1} \\
& + \sqrt{\frac{1}{8}} \varphi_{1\frac{1}{2}-\frac{1}{2}} \psi_{-1\frac{1}{2}\frac{1}{2}} + \sqrt{\frac{1}{8}} \varphi_{1\frac{1}{2}\frac{1}{2}} \psi_{-1\frac{1}{2}-\frac{1}{2}}, \\
\Phi_{02-1} &= \sqrt{\frac{3}{8}} \varphi_{01-1} \psi_{010} + \sqrt{\frac{3}{8}} \varphi_{010} \psi_{01-1} + \sqrt{\frac{3}{16}} \varphi_{1\frac{1}{2}-\frac{1}{2}} \psi_{-1\frac{1}{2}-\frac{1}{2}} \\
& + \sqrt{\frac{1}{16}} \varphi_{1\frac{1}{2}\frac{1}{2}} \psi_{-1\frac{1}{2}-\frac{1}{2}}, \\
\Phi_{02-2} &= \sqrt{\frac{3}{4}} \varphi_{01-1} \psi_{01-1} + \sqrt{\frac{1}{4}} \varphi_{1\frac{1}{2}-\frac{1}{2}} \psi_{-1\frac{1}{2}-\frac{1}{2}}, \\
\Phi_{011} &= \sqrt{\frac{1}{3}} \varphi_{1\frac{1}{2}\frac{1}{2}} \psi_{1\frac{1}{2}\frac{1}{2}} - \sqrt{\frac{1}{24}} \varphi_{010} \psi_{011} + \sqrt{\frac{1}{24}} \varphi_{011} \psi_{010} \\
& + \sqrt{\frac{1}{2}} \varphi_{000} \psi_{0,1} - \sqrt{\frac{1}{16}} \varphi_{1\frac{1}{2}-\frac{1}{2}} \psi_{-1\frac{1}{2}\frac{1}{2}} + \sqrt{\frac{1}{48}} \varphi_{1\frac{1}{2}\frac{1}{2}} \psi_{-1\frac{1}{2}\frac{1}{2}}, \\
\Phi_{010} &= \sqrt{\frac{1}{6}} \varphi_{-1\frac{1}{2}-\frac{1}{2}} \psi_{1\frac{1}{2}\frac{1}{2}} + \sqrt{\frac{1}{6}} \varphi_{-1\frac{1}{2}\frac{1}{2}} \psi_{1\frac{1}{2}-\frac{1}{2}} - \sqrt{\frac{1}{24}} \varphi_{01-1} \psi_{011} \\
& + \sqrt{\frac{1}{24}} \varphi_{011} \psi_{01-1} + \sqrt{\frac{1}{2}} \varphi_{000} \psi_{010} - \sqrt{\frac{1}{24}} \varphi_{1\frac{1}{2}-\frac{1}{2}} \psi_{-1\frac{1}{2}\frac{1}{2}} \\
& + \sqrt{\frac{1}{24}} \varphi_{1\frac{1}{2}\frac{1}{2}} \psi_{-1\frac{1}{2}-\frac{1}{2}}, \\
\Phi_{01-1} &= \sqrt{\frac{1}{3}} \varphi_{-1\frac{1}{2}-\frac{1}{2}} \psi_{1\frac{1}{2}-\frac{1}{2}} - \sqrt{\frac{1}{24}} \varphi_{01-1} \psi_{010} + \sqrt{\frac{1}{24}} \varphi_{010} \psi_{01-1} \\
& + \sqrt{\frac{1}{2}} \varphi_{000} \psi_{01-1} - \sqrt{\frac{1}{48}} \varphi_{1\frac{1}{2}-\frac{1}{2}} \psi_{-1\frac{1}{2}-\frac{1}{2}} + \sqrt{\frac{1}{16}} \varphi_{1\frac{1}{2}\frac{1}{2}} \psi_{-1\frac{1}{2}-\frac{1}{2}}, \\
\Phi_{-1\frac{1}{2}\frac{1}{2}} &= \varphi_{011} \psi_{-1\frac{1}{2}\frac{1}{2}}, \\
\Phi_{-1\frac{1}{2}\frac{3}{2}} &= \sqrt{\frac{2}{5}} \varphi_{010} \psi_{-1\frac{1}{2}\frac{3}{2}} + \sqrt{\frac{3}{5}} \varphi_{011} \psi_{-1\frac{1}{2}\frac{3}{2}}, \\
\Phi_{-1\frac{3}{2}\frac{1}{2}} &= \sqrt{\frac{1}{10}} \varphi_{01-1} \psi_{-1\frac{3}{2}\frac{1}{2}} + \sqrt{\frac{3}{5}} \varphi_{010} \psi_{-1\frac{3}{2}\frac{1}{2}}
\end{aligned}$$

$$\begin{aligned}
 & + \sqrt{\frac{3}{10}} \varphi_{011} \psi_{-1\frac{3}{2}-\frac{1}{2}}, \\
 \Phi_{-1\frac{5}{2}-\frac{1}{2}} &= \sqrt{\frac{3}{10}} \varphi_{01-1} \psi_{-1\frac{3}{2}\frac{1}{2}} + \sqrt{\frac{3}{5}} \varphi_{010} \psi_{-1\frac{3}{2}-\frac{1}{2}} + \sqrt{\frac{1}{10}} \varphi_{011} \psi_{-1\frac{3}{2}-\frac{3}{2}}, \\
 \Phi_{-1\frac{5}{2}-\frac{3}{2}} &= \sqrt{\frac{3}{5}} \varphi_{01-1} \psi_{-1\frac{3}{2}-\frac{1}{2}} + \sqrt{\frac{2}{5}} \varphi_{010} \psi_{-1\frac{3}{2}-\frac{3}{2}}, \\
 \Phi_{-1\frac{3}{2}-\frac{3}{2}} &= \varphi_{01-1} \psi_{-1\frac{3}{2}-\frac{3}{2}}, \\
 \Phi_{-1\frac{3}{2}\frac{3}{2}} &= \sqrt{\frac{5}{8}} \varphi_{-1\frac{1}{2}\frac{1}{2}} \psi_{011} - \sqrt{\frac{3}{80}} \varphi_{010} \psi_{-1\frac{3}{2}\frac{3}{2}} + \sqrt{\frac{1}{40}} \varphi_{011} \psi_{-1\frac{3}{2}\frac{1}{2}} \\
 & + \sqrt{\frac{5}{16}} \varphi_{000} \psi_{-1\frac{3}{2}\frac{3}{2}}, \\
 \Phi_{-1\frac{3}{2}\frac{1}{2}} &= \sqrt{\frac{5}{24}} \varphi_{-1\frac{1}{2}-\frac{1}{2}} \psi_{011} + \sqrt{\frac{5}{12}} \varphi_{-1\frac{1}{2}\frac{1}{2}} \psi_{010} - \sqrt{\frac{1}{40}} \varphi_{01-1} \psi_{-1\frac{3}{2}\frac{3}{2}} \\
 & - \sqrt{\frac{1}{240}} \varphi_{010} \psi_{-1\frac{3}{2}\frac{1}{2}} + \sqrt{\frac{1}{30}} \varphi_{011} \psi_{-1\frac{3}{2}-\frac{1}{2}} + \sqrt{\frac{5}{16}} \varphi_{000} \psi_{-1\frac{3}{2}\frac{1}{2}}, \\
 \Phi_{-1\frac{1}{2}-\frac{1}{2}} &= \sqrt{\frac{5}{12}} \varphi_{-1\frac{1}{2}-\frac{1}{2}} \psi_{010} + \sqrt{\frac{5}{24}} \varphi_{-1\frac{1}{2}\frac{1}{2}} \psi_{01-1} - \sqrt{\frac{1}{30}} \varphi_{01-1} \psi_{-1\frac{3}{2}\frac{1}{2}} \\
 & + \sqrt{\frac{1}{240}} \varphi_{010} \psi_{-1\frac{3}{2}-\frac{1}{2}} + \sqrt{\frac{1}{40}} \varphi_{011} \psi_{-1\frac{3}{2}-\frac{3}{2}} + \sqrt{\frac{5}{16}} \varphi_{000} \psi_{-1\frac{3}{2}-\frac{1}{2}}, \\
 \Phi_{-1\frac{1}{2}\frac{1}{2}} &= \sqrt{\frac{5}{8}} \varphi_{-1\frac{1}{2}-\frac{1}{2}} \psi_{01-1} - \sqrt{\frac{1}{40}} \varphi_{01-1} \psi_{-1\frac{3}{2}-\frac{1}{2}} + \sqrt{\frac{3}{80}} \varphi_{010} \psi_{-1\frac{3}{2}-\frac{3}{2}} \\
 & + \sqrt{\frac{5}{16}} \varphi_{000} \psi_{-1\frac{3}{2}-\frac{1}{2}}, \\
 \Phi_{-222} &= \varphi_{-1\frac{1}{2}\frac{1}{2}} \psi_{-1\frac{3}{2}\frac{3}{2}}, \\
 \Phi_{-221} &= \sqrt{\frac{1}{4}} \varphi_{-1\frac{1}{2}-\frac{1}{2}} \psi_{-1\frac{3}{2}\frac{3}{2}} + \sqrt{\frac{3}{4}} \varphi_{-1\frac{1}{2}\frac{1}{2}} \psi_{-1\frac{3}{2}\frac{1}{2}}, \\
 \Phi_{-220} &= \sqrt{\frac{1}{2}} \varphi_{-1\frac{1}{2}-\frac{1}{2}} \psi_{-1\frac{3}{2}\frac{1}{2}} + \sqrt{\frac{1}{2}} \varphi_{-1\frac{1}{2}\frac{1}{2}} \psi_{-1\frac{3}{2}-\frac{1}{2}}, \\
 \Phi_{-22-1} &= \sqrt{\frac{3}{4}} \varphi_{-1\frac{1}{2}-\frac{1}{2}} \psi_{-1\frac{3}{2}-\frac{1}{2}} + \sqrt{\frac{1}{4}} \varphi_{-1\frac{1}{2}\frac{1}{2}} \psi_{-1\frac{3}{2}-\frac{3}{2}},
 \end{aligned}$$

表 2 分支比 (I)

三重子态	Φ_{211}	Φ_{210}
衰变方式	$\Sigma^+ p n \quad p p \Sigma^0 \quad p p \Lambda \quad p n \Sigma^+$	$\Sigma^0 p n \quad n p \Sigma^0 \quad n p \Lambda \quad n n \Sigma^+ \quad p p \Sigma^- \quad p n \Sigma^0 \quad p n \Lambda$
分支比 R	0.25 0.13 0.38 0.25	0.25 0.063 0.19 0.13 0.13 0.063 0.19
三重子态	Φ_{21-1}	Φ_{200}
衰变方式	$\Sigma^- n p \quad n \Sigma^- p \quad n n \Sigma^0 \quad n n \Lambda$	$\Lambda p n \quad n p \Sigma^0 \quad n \Lambda p \quad n \Sigma^+ n \quad p p \Sigma^- \quad p \Sigma^0 n \quad p \Lambda n$
分支比 R	0.25 0.25 0.13 0.36	0.50 0.042 0.13 0.08 0.08 0.042 0.13

$$\Phi_{-22-2} = \varphi_{-1\frac{1}{2}-\frac{1}{2}}\psi_{-1\frac{1}{2}-\frac{1}{2}}.$$

利用三重子三十五重态的波函数, 计算了三重子态各种衰变方式的分支比. 将其中超荷 $Y = 1, 2$ 的三重子态的分支比列于表 2—7.

表 3 分支比 (II)

三重子态	$\Phi_{1\frac{3}{2}\frac{3}{2}}$						$\Phi_{1\frac{3}{2}-\frac{3}{2}}$					
衰变方式	$\Sigma^+p\Sigma^0$	$\Sigma^+\Lambda p$	$\Sigma^+\Sigma^+n$	$p\Xi^0p$	$p\Sigma^+\Sigma^0$	$p\Lambda\Sigma^+$	$\Sigma^-p\Sigma^-$	$\Sigma^-\Sigma^0n$	$\Sigma^-\Lambda n$	$n\Xi^-n$	$n\Sigma^0\Sigma^-$	$n\Lambda\Sigma^-$
分支比 R	0.08	0.25	0.17	0.17	0.083	0.25	0.17	0.08	0.25	0.17	0.08	0.25

表 4 分支比 (III)

三重子态	$\Phi_{1\frac{3}{2}\frac{1}{2}}$						
衰变方式	$\Sigma^0p\Sigma^0$	$\Sigma^0\Lambda p$	$\Sigma^0\Sigma^+n$	$\Sigma^+p\Sigma^-$	$\Sigma^+\Sigma^0n$	$\Sigma^+\Lambda n$	$n\Xi^0p$
分支比 R	0.056	0.17	0.11	0.056	0.028	0.083	0.056
衰变方式	$n\Sigma^+\Sigma^0$	$n\Lambda\Sigma^+$	$p\Xi^-p$	$p\Xi^0n$	$p\Sigma^+\Sigma^-$	$p\Lambda\Sigma^0$	
分支比 R	0.028	0.083	0.056	0.056	0.056	0.17	

表 5 分支比 (IV)

三重子态	$\Phi_{1\frac{3}{2}-\frac{1}{2}}$						
衰变方式	$\Sigma^-p\Sigma^0$	$\Sigma^-\Lambda p$	$\Sigma^-\Sigma^+n$	$\Sigma^0p\Sigma^-$	$\Sigma^0\Sigma^0n$	$\Sigma^0\Lambda n$	$n\Xi^-p$
分支比 R	0.028	0.083	0.056	0.11	0.056	0.17	0.056
衰变方式	$n\Xi^0n$	$n\Sigma^+\Sigma^-$	$n\Lambda\Sigma^0$	$p\Xi^-n$	$p\Sigma^0\Sigma^-$	$p\Lambda\Sigma^-$	
分支比 R	0.056	0.056	0.17	0.056	0.028	0.083	

表 6 分支比 (V)

三重子态	$\Phi_{1\frac{1}{2}\frac{1}{2}}$									
衰变方式	Ξ^0pn	$\Sigma^+p\Sigma^-$	$\Sigma^+\Sigma^0n$	$\Sigma^+\Lambda n$	$\Sigma^0p\Sigma^0$	$\Sigma^0\Lambda p$	$\Sigma^0\Sigma^+n$	$\Lambda p\Sigma^0$	$\Lambda\Lambda p$	
分支比 R	0.13	0.014	0.0069	0.021	0.0035	0.01	0.0069	0.094	0.28	
衰变方式	$\Lambda\Sigma^+n$	$p\Xi^-p$	$p\Xi^0n$	$p\Sigma^+\Sigma^-$	$n\Xi^0p$	$n\Sigma^+\Sigma^0$	$n\Lambda\Sigma^+$	$p\Lambda\Sigma^0$		
分支比 R	0.19	0.014	0.014	0.014	0.056	0.028	0.083	0.042		

表 7 分支比 (VI)

三重子态	$\Phi_{1\frac{1}{2}-\frac{1}{2}}$									
衰变方式	Ξ^-pn	$\Sigma^-p\Sigma^0$	$\Sigma^-\Lambda p$	$\Sigma^-\Sigma^+n$	$\Sigma^0p\Sigma^-$	$\Sigma^0\Sigma^0n$	$\Sigma^0\Lambda n$	$\Lambda p\Sigma^-$	$\Lambda\Sigma^0n$	
分支比 R	0.13	0.0069	0.021	0.014	0.0069	0.0035	0.01	0.19	0.094	
衰变方式	$\Lambda\Lambda n$	$n\Xi^-p$	$n\Xi^0n$	$n\Sigma^+\Sigma^-$	$n\Lambda\Sigma^0$	$p\Xi^-n$	$p\Sigma^0\Sigma^-$	$p\Lambda\Sigma^-$		
分支比 R	0.28	0.014	0.014	0.014	0.042	0.056	0.028	0.083		

四、三重子的质量及对三重子态的预言

在三十五重态中三重子的质量劈裂遵从 Gell-Mann-Okubo 质量公式

$$M_{YI} = M_0 + aY + b \left[I(I+1) - \frac{Y^2}{4} \right] \quad (3)$$

式中 I 和 Y 分别为同位旋和超荷量子数, M_0 , a 和 b 对每一给定的多重态均为常数. 由 (3) 式得到三重子三十五重态中各超荷-同位旋多重态的质量关系是

$$\begin{aligned} M_{3\frac{1}{2}} + M_{1\frac{1}{2}} &= 2M_{21}, \\ 3(M_{21} - M_{20}) &= 2(M_{1\frac{1}{2}} - M_{1\frac{3}{2}}), \\ 3(M_{20} + M_{02}) &= 4M_{1\frac{1}{2}} + 2M_{1\frac{3}{2}}, \\ 4(M_{1\frac{1}{2}} - M_{1\frac{3}{2}}) &= 3(M_{02} - M_{01}), \\ 4(M_{1\frac{1}{2}} + M_{-1\frac{1}{2}}) &= 5M_{02} + 3M_{01}, \\ 5(M_{02} - M_{01}) &= 4(M_{-1\frac{1}{2}} - M_{-1\frac{3}{2}}), \\ M_{01} + M_{-22} &= 2M_{-1\frac{1}{2}}. \end{aligned}$$

三重子三十五重态的波函数给出 ${}^3\text{He}$ 和 ${}^3\text{H}$ 的超荷、同位旋、同位旋第三分量的量子数分别为

$$Y = 3, I = \frac{1}{2}, I_3 = \frac{1}{2}; \text{ 和 } Y = 3, I = \frac{1}{2}, I_3 = \frac{-1}{2}. \text{ 也就是 } {}^3\text{He} \text{ 和 } {}^3\text{H} \text{ 构成}$$

同位旋为 $\frac{1}{2}$ 的二重态. 由 Gell-Mann-Okubo 质量公式可以看出, ${}^3\text{He}$ 和 ${}^3\text{H}$ 的质量应该相同. 实验上测定的 ${}^3\text{He}$ 和 ${}^3\text{H}$ 的质量^[7]为

$$M_{{}^3\text{He}} = 2808.4183 \text{ MeV},$$

$$M_{{}^3\text{H}} = 2808.9438 \text{ MeV}.$$

这说明实验上测出的 ${}^3\text{He}$ 和 ${}^3\text{H}$ 的质量, 相差很小, 基本上可以看作是相同的. 因此, 对于 ${}^3\text{He}$ 和 ${}^3\text{H}$ 的质量, 三重子三十五重态的结果与实验是一致的. 从而得到 ${}^3\text{He}$ 和 ${}^3\text{H}$ 填入三十五重态是合适的. 由于实验上^[7]测到 ${}^3\text{He}$ 和 ${}^3\text{H}$ 的自旋和宇称为 $\frac{1}{2}^+$, 根据群论多重态理论可知, 三十五重态的自旋和宇称也是 $\frac{1}{2}^+$

从表 2-7 的分支比看出, 质量在 2809 MeV 以上, 可能的三重子系统有 Λpn 、 $pp\Lambda$ 、 $nn\Lambda$ 、 $\Sigma^- np$ 、 $\Sigma^+ pn$ 、 $\Lambda\Lambda p$ 和 $\Lambda\Lambda n$. 其中最有希望的三重子系统是 Λpn , 因为在 Φ_{200} 态, Λpn 道的分支比为 50% (见表 2). 我们迫切希望作这方面的实验工作, 用以检验三重子三十五重态的理论.

参 考 文 献

- [1] M. Gell-Mann, *Phys. Rev.*, **125**(1962), 1067; Y. Neeman, *Nucl. Phys.*, **26**(1961), 222.
- [2] R. J. Oakes, *Phys. Rev.*, **131**(1963), 2239.
- [3] Shu-Qin XIE, Qi-Ren ZHANG, *Phys. Lett.*, **143B**(1984), 441.
- [4] 谢淑琴, 张启仁, 高能物理与核物理, **9**(1985), 483.

- [5] 张禹顺、李扬国、王淮淮、陈晓天、阮图南, 高能物理与核物理, **5**(1981), 521.
[6] D. B. Lichtenberg, "Unitary Symmetry and Elementary Particles", Academic Press INC. (1978).
[7] S. Fiarman S. S. Hanna, *Nucl. Phys.*, **A251**(1975), I.

AN $SU(3)$ SYMMETRY IN THE TRIBARYON SYSTEM

XIE SHUGIN ZHANG QIREN

(Peking University, Beijing)

ABSTRACT

The possibility that the tribaryons including ${}^3\text{He}$ and ${}^3\text{H}$ belong to an $SU(3)$ $\overline{35}$ dimensional irreducible representation is suggested. We calculate the wave functions and the branching ratios of the 35-plet of the tribaryons. The mass relations of the tribaryons in multiplet are obtained. The possible tribaryon states are predicted.